

港湾技研資料

TECHNICAL NOTE OF
THE PORT AND HARBOUR RESEARCH INSTITUTE
MINISTRY OF TRANSPORT, JAPAN

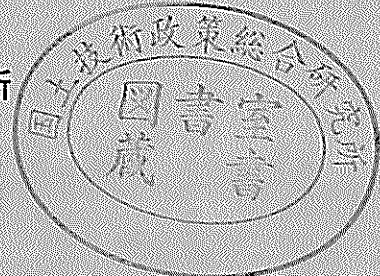
No.347

June 1980

混成式防波堤の最適設計(その2)

山 本 修 司
内 田 豊 彦

運輸省港湾技術研究所



目 次

要 旨	1
1. ま え が き	1
2. 最適設計への定式化	2
2.1 設計変数	2
2.2 制約条件	3
2.3 目的関数	5
3. 最適化計算	6
3.1 最適化計算	6
3.2 計算手順	6
4. 最適断面形状に及ぼす設計条件の影響	7
4.1 初期仮定断面と最適解の関係	7
4.2 マウンド許容端し圧と工費の関係	9
4.3 上部工形状と工費の関係	9
4.4 設計波高と堤体形状の関係	10
5. プログラムの利用法	11
5.1 入 力	11
5.2 出 力	13
5.3 利用上の留意点およびエラーメッセージ	13
5.4 利用例	14
6. あ と が き	20
参 考 文 献	20

Optimum Design of Composite Breakwater (Part-2)

Shuji YAMAMOTO*
Toyohiko UCHIDA**

Synopsis

An optimum design method for simplified model of composite breakwater was presented in the previous report (Tech. Note. of PHRI, No.301).

In this paper, the computer program which was developed previously is improved for the sake of actual design. The following results with regard to the optimum cross-section of composite breakwater and the relations between construction cost and design conditions are obtained by several numerical calculations.

1. The allowable bearing capacity of rubble mound has greater effects upon the construction cost as the water depth increases.
2. In case the cross-section of upright portion is determined by the stability against sliding at shallow water, the optimum height of rubble mound agrees with the prerequisite minimum height.
3. In case the cross-section of upright portion is determined by allowable capacity of rubble mound at deep water, it seems that there exists an optimum height of rubble mound which does not depend on design wave height but design water depth. It becomes the height to make the water depth above rubble mound to be 18m assuming the allowable bearing capacity being 50 tf/m².
Further, the crown with a parapet is advantageous for optimum design of composite breakwater.

* Member of Automatic Design Laboratory, Design Standard Division
** Chief of Automatic Design Laboratory, Design Standard Division

混成式防波堤の最適設計(その2)

山本修司*

内田豊彦**

要　　旨

前報(港研資料No.301)では、経済的に最適な混成式防波堤の断面を決定する手段として非線形計画法の一つであるSUMT(Sequential Unconstrained Minimization Technique)を応用した最適設計手法を開発し、それを簡単なモデル防波堤に適用して手法の有効性・問題点等について検討した。

今回は、先に作成した計算プログラムを実際の設計に適用できるよう拡張するとともに、二、三の数値計算を行い設計条件と工費の関係について検討した。限られた計算ケースではあるが次のような知見が得られた。

1. 捨石マウンドの許容端し圧は工費に大きな影響を及ぼすが、特に水深が大きくなるとその影響の度合が大きくなる。仮に許容端し圧を 100 tf/m^2 程度とした場合には許容端し圧が 50 tf/m^2 の場合より30%程度工費を安くすることができる。
2. 水深が小さく堤体断面が滑動に対する安定条件より決定される場合には、最適マウンド厚は最小マウンド厚(通常 1.5m)となる。水深 -20m 程度以上になると設計波高の大小にはあまり関係せず設置水深ごとに最適なマウンド厚というものが存在するようである。例えば許容端し圧が 50 tf/m^2 では、マウンド天端が -1.8m 程度になるようなマウンド厚が最適と思われる。
3. 滑動に対する安定条件で断面が決定する場合にはパラベットなしの上部工が有利であるが、許容端し圧で断面が決まる場合は、一般的にパラベット形式の上部工が有利である。

1. まえがき

構造物の設計を合理化しようとする場合、それはさまざまな観点からなされているが大別すると次のようになる。

- ① 設計思想の合理化
- ② 計算手法の合理化
- ③ 安全性の保証の合理化
- ④ 設計作業の省力化
- ⑤ 経済的に最適な構造物の追求

①については設計法を統一化し、示方書、技術基準等を整備することにより、②については計算手法のより厳密化により合理化が行われてきている。③については安全率の合理的な設定法または信頼性設計という形で関心が持たれている。以上①～③は当然なされなければならない設計の合理化であるが、筆者らはこれまで主として④、⑤の立場から設計の合理化というものを考えてきた。すなわち④の設計作業の省力化については電算機を利用した設計計算プログラムを整備する方式により対処してき

た。⑤の経済的に最適な構造物の追求について、ここでいう「経済的に最適」という意味は、どこの港にどの程度の規模の構造物を作るのが波及効果が著しいかというような経済効果的な意味ではなく(それらの問題は港湾計画の分野において適切に決定されるものとする)。ここでは構造物に要求される機能をいかに安く実現させるかということに重点をおくものとする。したがって、同じ機能を有するならばより費用の安い構造様式を選定し、同じ構造様式ならばより安い断面形状を決定することを目標とする。そのような断面形状を求める場合、従来は設計者の経験と勘によるか、または設計断面を種々変化させてそれらの工費を比較することにより最終断面を決定してきた。しかし、それらの作業は電算機を利用したとしても煩雑なものとなるし、得られた結果が最も経済的な断面であるという保証はない。特に防波堤については大水深、設計波高の増大等の問題により 1m あたりの工費が一千万円を越える防波堤も現れており、設計において経済性の検討が重要な位置を占めるようにな

* 設計基準部 自動設計研究室

** 設計基準部 自動設計研究室長

つてきている。

そこで筆者らは経済的に最適な構造物を設計する手法の一つとして数理計画法を港湾構造物の設計に適用しその計算プログラムを開発してきた。^{1), 2)} 混成式防波堤の最適設計については前報¹⁾において、簡単なモデル防波堤の設計に非線形計画手法を適用して、その手法の有効性及び問題点について検討した。今回は先に作成したプログラムを実際の設計に利用できるよう拡張するとともに、本プログラムで得られる最適断面をもとに工費に影響を与える各種設計条件と工費の関係について考察を行った。

2. 最適設計への定式化

2.1 設計変数

混成式防波堤の一般的な形状は図-1に示すとおり、非常に多くの断面諸元より構成されている。しかもそれらのすべてが工費に関係してくる。経済的に最適な断面を決定するにはそれらのすべてを考慮して断面を決定しなくてはならないが、考慮すべき断面諸元が多くなると、たとえ数理計画法を用いたとしても計算機の容量、計算時間の問題、関数をつくりだす曲面の複雑性等の問題より計算が困難になる恐れがあるので、設計変数を必要最小限のものとする。すなわち防波堤天端高は港内静穏度との関係から、ケーソンの部材厚は細部設計との関連からそれぞれ適切な値が定まるであろうし、港外側マウンドのり肩幅や被覆ブロックの設置個数等については定量的に定めることは困難であり、現在のところ建設局の内規等で決まっている場合が多い。また、上部工の形状については、設計条件に応じて最も工費の安い形状というものが存在すると思われるが、その形状が多少変化したとしてもそれらの工費の変動が全体の工費に与える影響は小さいと考えられる。以上の理由により、本混成式防

波堤の最適設計では工費に与える影響が大きいと思われる捨石マウンド厚 x_1 、ケーソンの法線直角方向長 x_2 、港内側マウンドのり肩幅 x_3 、アーチング長 x_4 、ケーソンの法線平行方向長 x_5 を設計変数とし、他の諸元は定数とし

設 計 變 數	x_1	捨石マウンド厚 (m)
	x_2	ケーソンの法線直角方向長 (m)
	x_3	港内側マウンドのり肩幅 (m)
	x_4	アーチング長 (m)
	x_5	ケーソンの法線平行方向長 (m)
定 數	U_1	防波堤天端高 (m)
	U_2	ケーソン天端高 (m)
	S_1	ケーソン側壁厚 (m)
	S_2	ケーソン隔壁厚 (m)
	b	ケーソン底盤厚 (m)
	f	アーチング厚 (m)
	e	ふたコンクリート厚 (m)
	A_1, A_2, A_3, A_4, A_5	上部工形状寸法 (m)
	t_1	根固方塊の厚さ (m)
	t_2	被覆石の厚さ (m)
設 計 條 件	l_1	港外側マウンドのり肩幅 (m)
	α	マウンドのりこう配
	H'_0	換算沖波波高 (m)
	T	周 期 (s)
	β	波 向 (度)
	H.W.L., L.W.L.	水 位 (m)
	K	設計水深 (m)
	C	海底勾配
	ϕ_1, ϕ_2	マウンドと現地盤の内部摩擦角 (度)
	r_1, r_2	マウンドと現地盤の 単位体積重量 (tf/m^3)

表-1 設計変数および定数

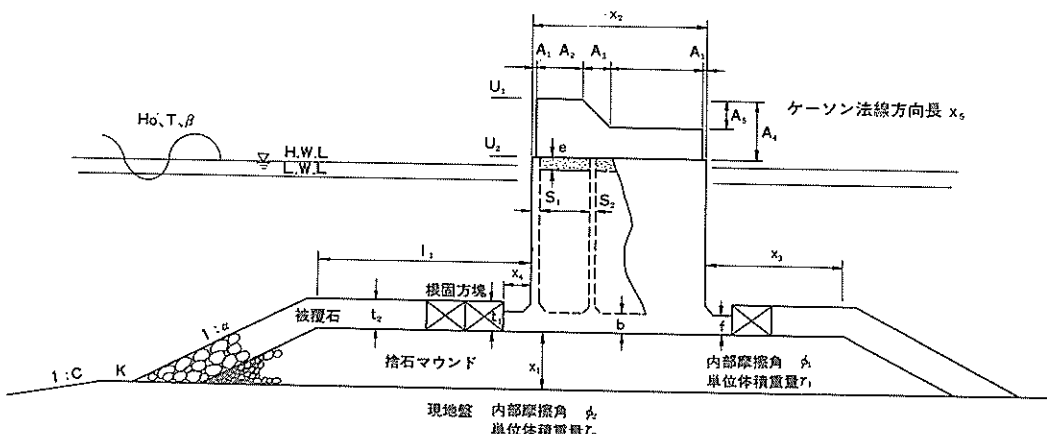


図-1 混成式防波堤の断面諸元

て取扱うこととする（表一1参照）。ただし、変数とし
た諸元についても場合によっては定数として扱う必要も
あろうと思われる所以プログラム上はそれを考慮するこ
とにする。

2.2 制約条件

最小工費の断面形状を決定するには、前項で定義した
設計変数を変化させて工費が最小となるそれらを決定す
るわけであるが、設計変数の取り得る値の範囲にはおの
づから制限がある。それは構造物としての安定条件から
決まる制限の場合もあれば施工条件から決まる制限の場
合もある。プログラム作成において考慮した制約条件を
以下に列挙する。

(1) 直立部の安定に対する検討

防波堤に作用する波力に対して、直立部は滑動に対し
ても転倒に対しても安定でなければならないので次の制
約条件を満足する必要がある。

$$F_s \geq 1.2 \quad \dots \dots \dots \quad (1)$$

$$F_t \geq 1.2 \quad \dots \dots \dots \quad (2)$$

ここに F_s , F_t はそれぞれ滑動、転倒に対する安全率
である。

なお、波圧については、入力された換算沖波波高、周
期等に対して簡略式による碎波変形³⁾を計算したのち合
田式⁴⁾によって波圧を算定することにする。

(2) 基礎の支持力に対する検討

本プログラムでは砂質地盤上に捨石マウンドを構築し
た混成式防波堤を対象としている。マウンド上および現
地盤上においては、次の制約条件を満足する必要がある。

$$p_1 \leq q_{1a} \quad \dots \dots \dots \quad (3)$$

$$p_2 \leq q_{2a} \quad \dots \dots \dots \quad (4)$$

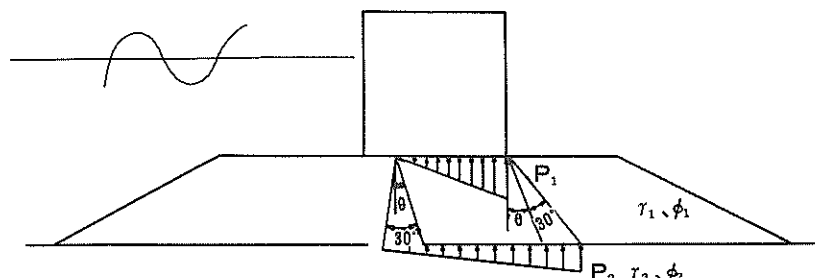
ここで、 p_1 , p_2 はマウンド上面および下面における最大
端し压、 q_{1a} はマウンド上面の許容端し压、 q_{2a} は現
地盤上における許容支持力である。 p_2 の算定には荷重分
散法を、 q_{2a} の算定にはテルツァギの支持力公式を用い
ている。

(3) 直線すべりに対する検討

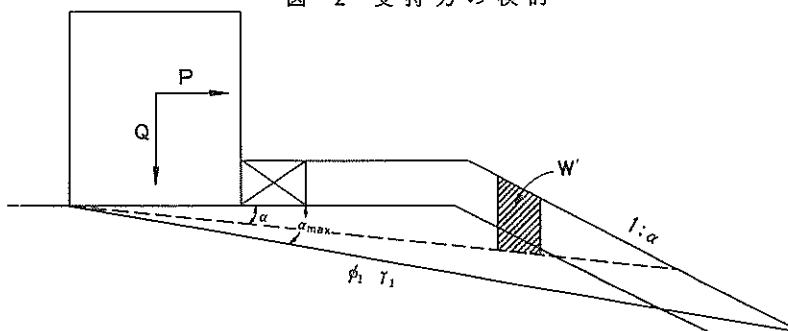
混成堤では、捨石マウンドの全体的または部分的なす
べりに対して安定でなくてはならないので次式を満足す
る必要がある。

$$F_{l\min} \geq 1.2 \quad \dots \dots \dots \quad (5)$$

ここで $F_{l\min}$ は直線すべりの安全率を算定する式(6)にお
いて、ケーソン前しを始点とし、すべり角 α を 0° から 5°
きざみで変化させて得られる最小の安全率である。ただ
し α の最大値はケーソン前しと港内側マウンドのり尻を
結ぶ線が水平となす角である。



図一2 支持力の検討



図一3 直線すべりの検討

$$F_l = \frac{(Q + \Sigma W') \cos \alpha - P \sin \alpha}{(Q + \Sigma W') \sin \alpha + P \cos \alpha} \tan \phi_1 \quad \dots \dots \dots \quad (6)$$

Q : 鉛直力 (tf/m), P : 波力 (tf/m),

W' : マウンド分割片の水中重量 (tf/m),

ϕ_1 : 捨石マウンドの内部摩擦角 (度)

(4) 偏心傾斜荷重に対する検討

混成式防波堤の偏心傾斜荷重に対する検討を行う場合, 基礎地盤は捨石マウンドと現地盤からなる二層系地盤となるため片山・内田法⁵⁾または三建法⁶⁾等を用いて検討しなければならない。しかし、両方法ともその計算自体がかなりの計算量を必要とし、それらの計算を本最適設計に組み込んだ場合、非常に多くの計算時間が必要となる。したがって、偏心傾斜荷重に対する検討は比較的計算の簡単な立石の方法⁷⁾を用いて行うこととする。安全率の算定では通常の土圧計算に用いられる内部摩擦角より 5° 大きい値を使用し、許容安全率(F_e)を1.0としている。したがって制約条件式は次のようになる。

$$F_e \geq 1.0 \quad \dots \dots \dots \quad (7)$$

ただし、立石の方法による安全率 F_e は地表面が水平で地層が一層の場合を対象としたものであるので、安全率 F_e は一般に片山・内田法または三建法による安全率より大きい。したがって最適計算によって得られた防波堤の偏心傾斜荷重に対する安全率が1.0に近い場合は、別途、前述の方法等によってチェックすることが望まれる。

(5) ケーソン空中重量に対する検討

ケーソン製作における施工方法の違いやケーソンヤードの関係等でケーソン自体の大きさに制限の生ずる場合があるのでケーソンの空中重量に関する制約条件を設けるものとする。

$$W_e \leq W_{e\max} \quad \dots \dots \dots \quad (8)$$

ここに、 W_e はケーソン本体の空中重量、 $W_{e\max}$ は施工可能なケーソン本体の完成時最大重量である。

(6) 浮遊時の安定条件

自力で浮遊するケーソンについては転覆あるいは傾斜しないよう浮遊時の安定を確保しなければならない。このための安定条件は次のとおりである。

$$\bar{GM} \geq 0.05D \quad \dots \dots \dots \quad (9)$$

ここに、 \bar{GM} はケーソンの重心と浮心の距離、 D は喫水である。ただし、最適化計算の過程で式(9)の制約条件を満足できない場合は、制約条件式群から式(9)を取り除き、浮遊時の安定条件を満足するまで注水を行なうものとす

る。

(7) ケーソンすえ付け時の検討

防波堤設置地点のマウンド上にケーソンをすえ付ける場合、当然、マウンド上の水深はケーソンの喫水よりも大きくなくてはならない。よって、ケーソンすえ付け時の条件として式(10)を満足しなくてはならない。

$$x_1 \leq h - D - Y \quad \dots \dots \dots \quad (10)$$

ここに、 D は喫水、 Y は余裕水深、 h は防波堤の前面水深である。ここでは検討水位としてL.W.Lを採用している。

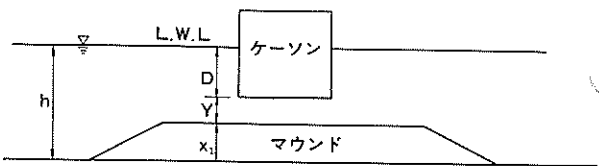


図-4 ケーソン据付時の検討

(8) 各設計変数に関する制約条件

前項で定義した設計変数には変数それ自身の取り得る値の範囲が存在する。たとえばマウンド厚 x_1 については、その必要最小厚が決まっているし⁸⁾、その最大厚は衝撃碎波圧の生じない程度の大きさに制限されるであろう。またケーソンの幅 x_2 、長さ x_5 はケーソンヤードやドックの関係からその最大値がおさえられる。したがって各変数について式(11)の制約条件を設けるものとする。

$$x_{i\min} \leq x_i \leq x_{i\max} \quad (i=1 \sim 5) \quad \dots \dots \dots \quad (11)$$

ここに、 $x_{i\min}$ 、 $x_{i\max}$ は変数 x_i の最小値および最大値である。

(9) ケーソン隔壁の区間割

ケーソンの平面形状を決定する設計変数は x_2 と x_5 であるが、 x_2 および x_5 が一定であっても隔壁の区間割によって工費が変化する。通常の大きさのケーソンでは、中詰の単価の方がコンクリートの単価より安いので隔壁長が大きい方が経済的である。本プログラムでは隔壁の最大長を4.5mとし各隔壁長が4.5mを越えない範囲でなるべく大きくなるように決定した。また細部設計、施工を考慮して各隔壁室はケーソンの中心線に対して対称でかつスパンの長さがなるべく均等になるように考慮した。

以上設定した制約条件式は水位が一定で波力および揚圧力が一種類の場合に対するものである。普通、設計計算においてはL.W.LからH.W.Lまで水位を変化させて、構造物の安定上最も危険となる状態に対して安定計算を

行っている。この水位の変動を考慮して後述の最適化計算を行うには、設計変数および制約条件式を各検討水位に対して作成しそれらを同時に一つの制約条件として解けばよいわけであるが、個々の制約条件式のつくる曲面が複雑であるうえにその数が増えると、数値計算が非常に困難になることが予想される。そこで、滑動に対する安全率が一般に最も小さいH.W.Lに水位を固定し最適化計算を行い工費最小の断面を求める。その後、求まった断面について、水位を変動させて全ての制約条件を満足しているかどうかチェックを行う。各検討水位において全ての制約条件式を満足していればその解は最適解となる。一つでも制約条件式を満足していないければその解は最適解とならない。本プログラムでは波圧式として合田式を用いているので、断面が滑動に対する安定で決まっている場合は、一般に他の水位における滑動の安全率がH.W.Lのそれより下がることは少ないようである。また端し圧に対して断面が決定している場合も一般に同様な傾向があるが、設計条件によってはまれに他の水位での端し圧がH.W.Lでの端し圧より大きい場合がある。しかしその端し圧の変化は一般に小さいのでそれが許容できる程度であれば制約条件式を満足しているものとする。ここではその許容範囲を許容端し圧の5%増としている。

2.3 目的関数

前述のとおり本最適設計での経済性の評価は防波堤建設の工費を対象としている。混成式防波堤建設の工費は防波堤直立部と捨石マウンドに関する工費の和としてあらわされる。ここで考慮している工費は防波堤1mあたりの概算工費であり、次に示す単価と材料のボリュームによって式(12)のように表わされる。

$$\begin{aligned} \text{COST} = & f(x_1, x_2, x_3, x_4, x_5) = C_1 X_1 + C_2 X_2 + C_3 X_3 \\ & + C_4 X_4 + C_5 X_5 + C_6 X_6 + C_7 X_7 + C_8 X_8 + \\ & C_9 X_9 + C_{10} X_{10} + C_{11} X_{11} + n C_{12} (\text{千円}/\text{m}) \end{aligned} \quad \dots \quad (12)$$

C_1 : ケーソン製作単価	(千円/ m^3)
C_2 : 中詰砂単価	(〃)
C_3 : ふたコンクリート単価	(〃)
C_4 : 上部コンクリート単価	(〃)
C_5 : 捨石単価	(〃)
C_6 : 被覆石単価	(〃)
C_7 : 捨石荒均し単価	(千円/ m^3)
C_8 : 捨石本均し単価	(〃)

C_9 : 被覆石均し単価	(千円/ m^2)
C_{10} : 進水、えい航、据付等のケーソン一函あたりにかかる費用	(千円/函)
C_{11} : 根固め方塊製作単価	(千円/ m^3)
C_{12} : 根固め方塊据付費	(千円/個)
X_1 : ケーソン本体の体積	(m^3/m)
X_2 : 中詰砂の体積	(〃)
X_3 : ふたコンクリート体積	(〃)
X_4 : 上部コンクリート体積	(〃)
X_5 : 捨石体積	(〃)
$X_5 = (l_1 + x_2 + x_3 + \alpha x_1) x_1$	
l_1 は港外側マウンドのり肩幅(m)	
α はマウンドこう配	
X_6 : 被覆石体積	(〃)
$X_6 = 2t_2 \sqrt{1+\alpha^2} (t_2 + x_1) + t_2 (l_1 + x_3 - 2x_4 - l_2 - t_2 \alpha)$	
t_2 は被覆石の厚さ(m)	
t_2 は根固め方塊の全設置幅(m)	
X_7 : 捨石の荒均し面積	(m^2/m)
$X_7 = 2x_1 \sqrt{1+\alpha^2} + l_1 + x_3 - 2x_4 - l_2 - 2s$	
s は本均しの余裕幅(m)	
X_8 : 捨石の本均し面積	(m^2/m)
$X_8 = x_2 + 2x_4 + l_2 + 2s$	
X_9 : 被覆石均し面積	(m^2/m)
$X_9 = 2(t_2 + x_1) \sqrt{1+\alpha^2} + 2t_2 \sqrt{1+\alpha^2}$	
$+ (l_1 + x_3 - 2x_4) - 2t_2 \alpha - l_2$	
X_{10} : ケーソンの法線平行方向長	
$X_{10} = x_5$ (m)	
X_{11} : 根固め方塊全体積	(m^3/m)
$X_{11} = t_1 l_2$	
t_1 は根固め方塊の高さ(m)	
n : 根固め方塊の防波堤1mあたりの概算設置個数	(個/m)

本来上記の単価は水深の大小、ケーソンの大小等によって変化するものであるが、それらの関係を求めた適当な資料も見あたらないのでここでは定数として扱うことにする。

以上の定式化によって、経済的に最適な混成式防波堤の断面形状は制約条件式(1)～(11)を満足しつつ式(12)で示される目的関数が最小となる各設計変数($x_1 \sim x_5$)によって与えられる。

3. 最適化計算

3.1 最適化計算

式(1)～(11)で示される制約条件式をまとめて $g_j(X)$, 式(12)で示される目的関数を $f(X)$ とすると本最適設計の問題は次のように表現される。

$$g_j(X) \leq 0 \quad (j=1, m) \quad \dots \dots \dots \quad (13)$$

$$f(X) \rightarrow \min$$

$$\text{ここに } X = (x_1, x_2, x_3, x_4, x_5)$$

$g_j(X)$, $f(X)$ は X に関して非線形であるため、本問題は典型的な非線形計画法の問題である。この種の問題を解く最適化手法としては反復線形計画法 SLP (Sequence of Linear Method), 直接微分傾斜法 (Projected Gradient Method), 可能方向法 (Feasible Direction Method), SUMT (Sequential Unconstrained Minimization Technique), モンテカルロ法等があるが、それぞれ長所短所を有しており、現在のところ問題に応じて使い分けられている。ここでは、全体的最適解を見つけ出す可能性が大きく、かつ構造・造船関係で実績のある SUMT を採用した。SUMT は式(14)に示すような新しい関係 (Interior Penalty Function) を用いて、「制約条件つき最適化問題」を「制約条件のない最適化問題」に変換して解く手法である。

$$P(X, r_k) = f(X) - r_k \sum_{j=1}^m \frac{1}{g_j(X)} \quad \dots \dots \dots \quad (14)$$

本手法は実行可能領域に最小値を有する Penalty Function をつくりペナルティ係数 r_k を減少させて $P(X, r_k)$ の最小値を $f(X)$ の最小値に近づけることにより $f(X)$ の最小値を求める手法である。式(14)の第2項 (Penalty項) は実行可能領域では負であり、設計変数が変化して制約条件式を犯しそうになると急激に大きくなつて、設計変数が制約条件を犯すことをさまたげようとする性質を有する。

なお、 r_k の初期値としては、一般に目的関数とペナルティ項が同程度の値となるように r_k を定めるのがよいと言われているが、本問題の場合ペナルティ項と目的関数の比が 0.1～1 度が良好であった。また、 r_k の減少率としては 1 回の Iteration で ($1/10 \sim 1/100$) 程度を用いている。

式(14)の最小値を求める具体的な方法としては Powell の Direct Search 法⁹⁾ と Davidon-Fletcher-Powell¹⁰⁾ 法を用いている。

3.2 計算手順

2.2 制約条件および前項で述べた計算法の計算手順は次のとおりである。

- ① 設計条件、単価等の入力。
- ② 検討水位を H.W.L とする。
- ③ 入力された初期仮定断面が全ての制約条件を満足しているか否かをチェックする。一つでも満足していないければ計算を中止する。
- ④ 最適断面を求める。
- ⑤ 求まった断面は他の水位で全ての安定条件を満足するか否かチェックする。全ての安定条件を満足していれば最適断面の一候補とする。一つでも満足しなければ最適断面の候補とならない。
- ⑥ 他の水位での最適断面を求める場合は検討水位を移して④に行く。
- ⑦ 得られた最適断面の候補の中から工費が最小となる断面を決定する。

最適化計算の詳細については前報¹¹⁾を参照されたい。

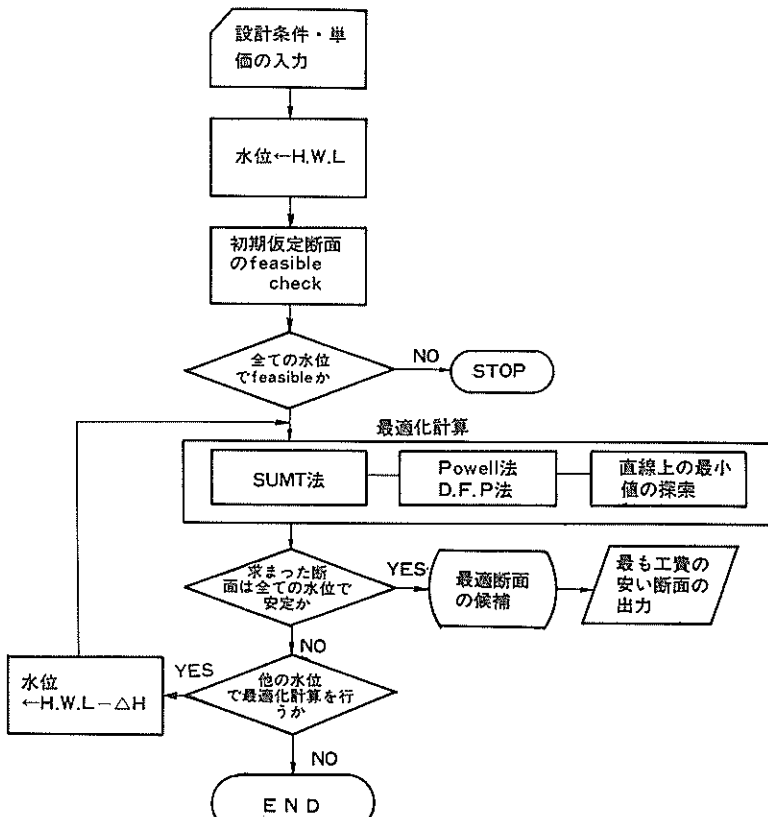


図-5 計算手順

4. 最適断面形状に及ぼす設計条件の影響

工費に与える影響の大きな設計条件と工費の関係について二、三数値計算を行い、混成式防波堤の最適断面形状に及ぼす設計条件の影響について考察する。ここで用いた単価はある特定の港を想定したものであるが、値そのものはそれほど特殊なものではないと考えられる(表-2参照)。なお、ケーソン一函あたりに係る費用(進水、えい航、据付)は施工条件によって大きく異なるので、ここでは考慮していない。

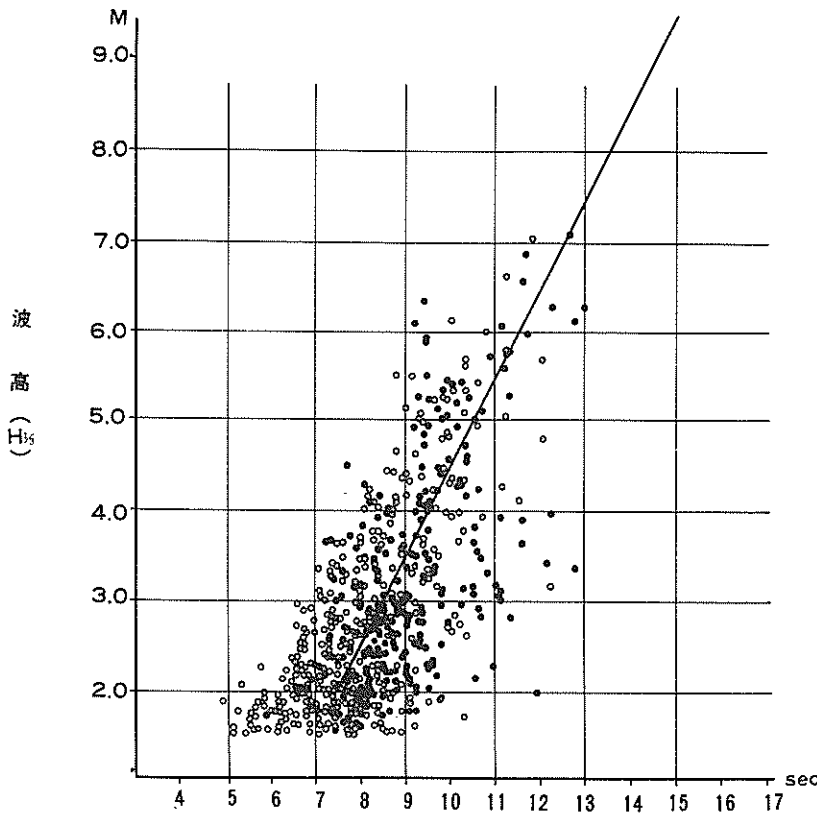
波高と周期については福井港で観測されたものを利用した(図-6参照)。

4.1 初期仮定断面と最適解の関係

非線形計画法の一般的な性質として制約条件式の作り出す曲面が凸でない場合は局所的最小解が全体的最小解になるという保証はできない。この理論的な難点は現在のところどのような手法を用いても遭遇する問題であるが、凸極性の条件が満足してなくても局所的最適解を求めるためにはSUMTを用いることができる。実用的には出発点を種々変化させて得られる局所的最小解を比較す

C ₁	ケーソン製作単価	50,000(円/m ³)
C ₂	中詰砂単価	1,500(〃)
C ₃	ふたコンクリート単価	25,000(〃)
C ₄	上部コンクリート単価	30,000(〃)
C ₅	捨石単価	5,200(〃)
C ₆	被覆石単価	5,400(〃)
C ₇	捨石荒均し単価	7,300(円/m ²)
C ₈	捨石本均し単価	8,200(〃)
C ₉	被覆石均し単価	5,400(〃)
C ₁₀	ケーソン一函あたりの費用	0(円/函)
C ₁₁	根固方塊製作単価	10,000(円/m ³)
C ₁₂	根固方塊据付単価	15,000(円/個)

表-2 数値計算に用いた単価



図一6 波高と周期の関係の一例(福井港)

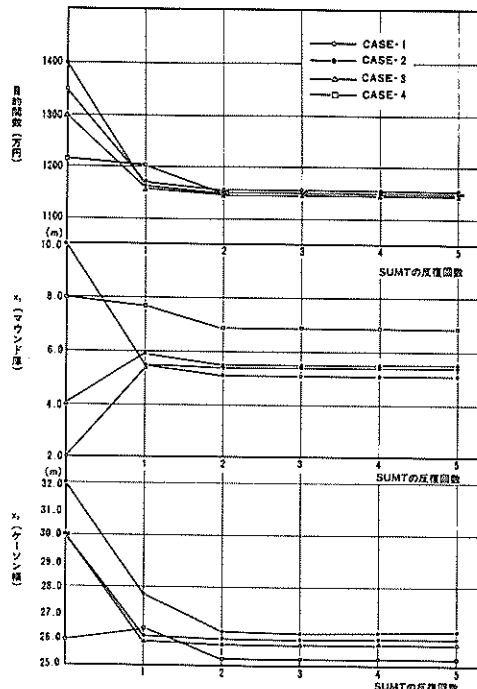
ることにより全体的最小解を決定できることが少なくない。

いま水深 -20m , 換算冲波波高 8.0m , 周期 13.5秒 , 許容端し圧 50tf/m^2 の設計条件の地点での工費最小の混成式防波堤を求めてみる。初期条件としてマウンド厚 x_1 と堤体幅 x_2 がそれぞれ異なる4組の出発点(表一3参照)を与えた場合の最適解とその収束状況を図一7に

ケース名	x_1	x_2	備考
CASE-1	2.0	32.0	他の設計変数は定数とした。
CASE-2	10.0	30.0	
CASE-3	4.0	30.0	
CASE-4	8.0	26.0	

表一3 解の収束状況の検討に用いた初期値

示す。本例題の場合 SUMT の反復回数が 2 回程度で解が収束している。また最適解はいずれも端し圧に対する制約条件で断面が決定しているがその断面形状は、マウンド厚が小さく堤体幅が大きい解(CASE-1~CASE-3)とマウンド厚が大きく堤体幅が小さい解(CASE-4)



図一7 解の収束状況

4)の2種類が存在するようである。実用的には初期値を二、三変化させて、得られる解を比較すれば十分に全体的最小解が得られると思われる。なお、この例題の場合は工費の差が1%前後と非常に小さいので、実際には経済性以外の条件、例えば施工性等を加味して採用断面を決定することになる。

4.2 マウンド許容端し圧と工費の関係

捨石マウンドの許容端し圧は現在のところ40~50 tf/m²程度が採用されているようであるが、水深が深くなるとケーソンの堤体幅はほとんど端し圧で決定される。許容端し圧が工費に大きく影響することは定性的にはわかっているが、定量的にどの程度であるかについてはあまり把握されていない。ここでは、許容端し圧の工費に与える影響を調べるために以下の条件のもとで試算を行った。

設計水深 -10~-50m
換算沖波波高 8.0m
周期 1.35秒
許容端し圧 50~100 tf/m²
マウンド内部摩擦角 40°
現地盤内部摩擦角 30°
防波堤天端高 0.6 H_{1/3} (H_{1/3}は防波堤前面での有義波高)
ケーソン空中重量 5000 tf 以下

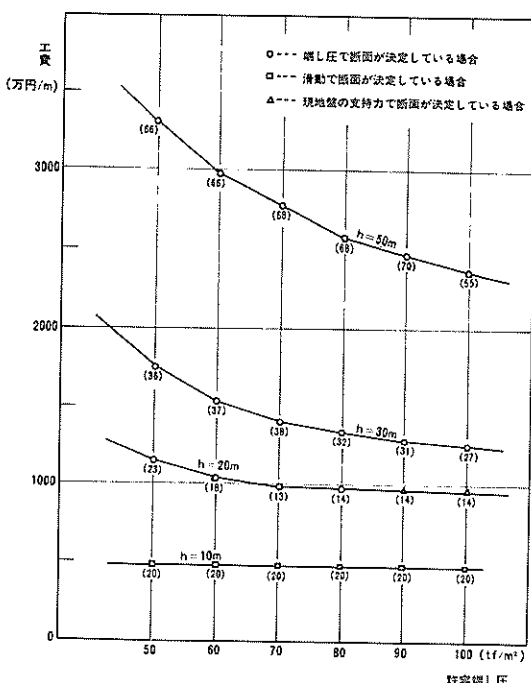


図-8 許容端し圧と工費の関係

計算結果は図-8に示すとおりである。本例の場合、水深が-10m程度までは滑動に対する安定条件で断面が決定するので工費は許容端し圧に関係しないが、それ以上の水深では水深が深くなるほど許容端し圧の影響が大きくなる。ちなみに許容端し圧として100 tf/m²を採用した場合、水深が-20m程度では工費は現行(許容端し圧50 tf/m²と仮定)の85%程度であるが、それ以上の水深では70%程度になる。大水深の場合、1mあたりの工費の絶対額が大きいのでその差は非常に大きなものとなる。現在使用されている許容端し圧は経験上用いられている値であるが、大水深の場合は工費に与える影響が大きいので慎重に検討する必要があろう。

なお、各水深および許容端し圧に対して求まった最適断面形状については、一般的に次のようない傾向がある。

(1) 水深が深く直立部の堤体幅が端し圧に対する制限条件より決まる場合は、許容端し圧が大きくなればなるほどマウンド厚は小さくなりかつ直立部の堤体幅も小さくなる。また、許容端し圧が大きくなると、捨石マウンドに関する工費の全工費に占める割合(図-8の中の()内の数値)も小さくなる傾向にある。

(2) 水深が浅くて直立部の堤体幅が滑動に対する安定条件より決まる場合は、マウンド厚は最小マウンド厚(通常1.5m)となる。これは従来の経験とも一致する。

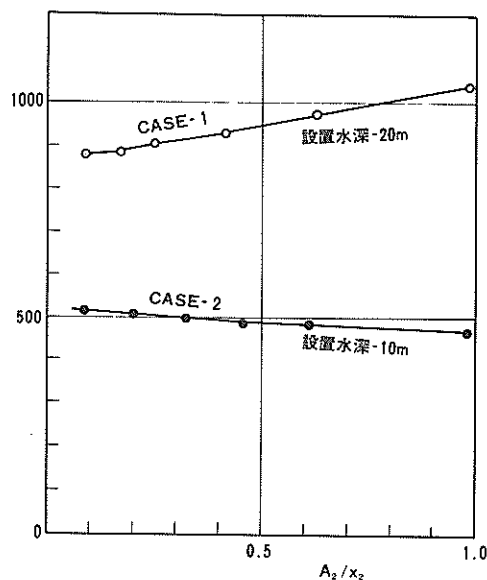
4.3 上部工形状と工費の関係

本最適設計では上部工形状を表わす諸元を設計変数とせずに定数としているが本来は工費に影響してくるものである。その影響の度合を次の条件のもとで試算した。

換算沖波波高 8.0m
周期 1.35秒
水深 CASE-1 -20m
CASE-2 -10m
許容端し圧 60 tf/m²
上部工形状 CASE-1 A₁=0.1m, A₃=A₅=2.4m, A₄=4.4m
CASE-2 A₁=0.1m, A₃=A₅=2.8m, A₄=3.8m

ここに、A₁~A₅は上部工形状を示すデータである。

(図-1参照) 上部工のパラベット部天端幅(A₂)を変化させた場合の最適解の工費の変化を図-9に示す。水深-10mの場合(CASE-2)では、上部工の形状は工費にそれほど大きな影響を与えないが、A₂が大きいほど工費が安くなる傾向にある。CASE-2では滑動に対する安定条件に対して堤体断面が決定しているので、浮



図一9 上部工形状と工費の関係

力の作用しない上部工を大きくして、浮力の作用するケーソン部を小さくした方が有利であることを示している。また逆に許容端し圧に対して堤体断面が決定している CASE-1 のような場合は A_2 が小さい方が工費が安くなっている。CASE-1 の場合の工費の増加量のはほとんどは上部工のボリュームの増加によるものである。このことは、滑動に対して余裕が有り端し圧で断面が決定する場合は、上部工をパラベット形状にした方が工費的に有利であることを示しているものと考えられる。

4.4 設計波高と堤体形状の関係

設計波高とケーソン幅は密接な関係にあり、最適断面形状も設計波高によって変化していく。ここでは水深が比較的深い場合の最適断面を試算し、それらの関係について考察する。計算条件は次のとおりである。

設計波高及び周期

図一6より次のように設定した。

換算冲波波高 6.0, 8.0, 10.0, 12.0 m
(周期) (11.5), (13.5), (15.5), (17.5) 秒

水深 $-15, -20, -25, -30$ m

海底こう配 1 : 100

防波堤天端高 $0.6 H_{1/3} \text{m}$

許容端し圧 50 tf/m^2

フーチング厚 1.5 m

フーチング長の範囲 0~2 m

単価 表一2のとおりとする

計算結果は図一10に示すとおりである。最適解はすべて許容端し圧に関する制約条件から決定されている。また、水深が -20 m以上では設計波高の大小にはあまり関係せずに各水深ごとに最適なマウンド厚というものが存在するようである。本計算例の範囲ではマウンド上水深が $1.6 \sim 1.7$ mになるようなマウンド厚が最適解となっているが、この値は許容端し圧が 50 tf/m^2 の場合のマウンド上水深の限界値と思われる。また、波高にくらべて水深が大きい領域では碎波変形の影響が小さいので H_{\max} が同程度となりかつ前述のとおりマウンド上水深がほぼ一定であるため波圧の合力が等しくなってケーソン幅が同程度となる領域が存在する。 H_{\max} の変化の著しい領域ではその波高に応じて滑動に対する安定条件および許容端し圧を満足する断面が決定される。

フーチングについては、水深が -1.5 m程度では必要ないかまたは設けるとしても 1 m程度が経済的なようである。水深が -20 mを越える場合はフーチング長が大きい方が有利でありいずれの水深においても 1.5 m程度以上のフーチングを持つ断面が得られている。また波高の大きい場合の方がフーチング長が大きくなる傾向にある。(なお、本計算例ではフーチングの最大長を 2.0 mに制限してあるためそれ以上のフーチング長は得られない)。

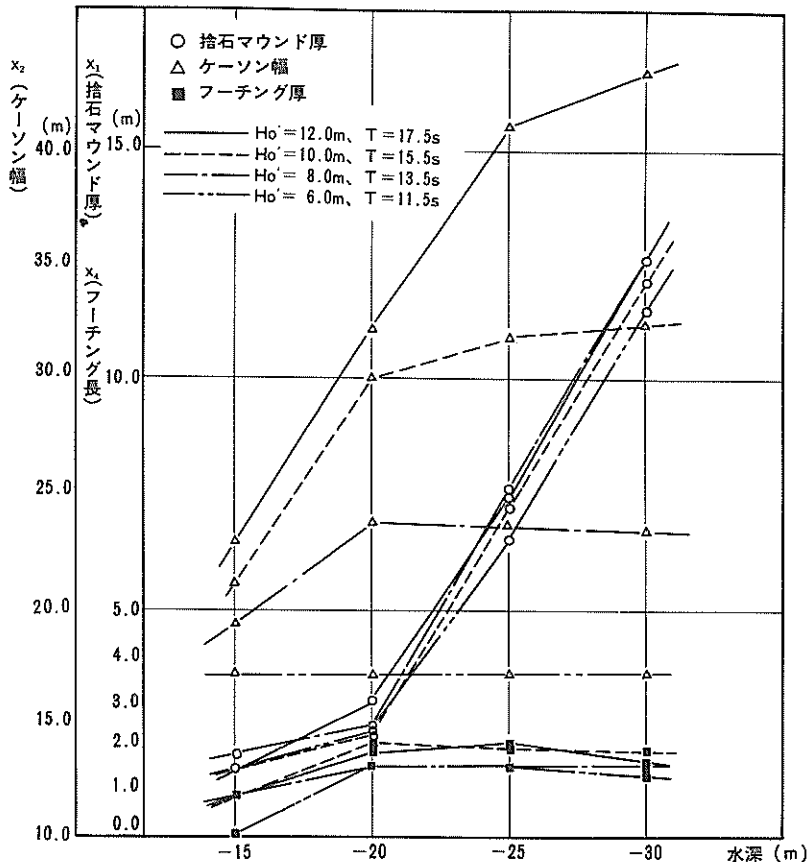


図-10 設計波高と最適断面形状

5. プログラムの利用法

5.1 入力

本プログラムはバッチ処理のみを対象としているので入力はカードリーダーで行う。入力様式は図-11に示すところである。入力データはすべて、で区切り前詰めで記入する。各データの内容は以下のとおりである。

ITITLE…文字型。表題(40文字以内)。

N ……整数型。変数の個数。

NVAL ……整数型。変数 $x_1 \sim x_5$ のうち変数として扱うものは1, 定数として扱うものを0とする。

H'_0 ……実数型。換算沖波波高(m)。

T ……実数型。周期(秒)。

β ……実数型。波向(度)。 $\pm 15^\circ$ の補正是プログラム内で行っていない。

W_0 ……実数型。海水の単位体積重量(t_f/m^3)。

O ……実数型。海底こう配(例: 1:100のときは100.0を入力する)。

K ……実数型。現地盤水深(m)。負の符号をつける。

t_1 ……実数型。根固めブロックの厚さ(m)。

U_2 ……実数型。ケーソン天端高(m)。

FUT ……実数型。フーチング厚(m)。

S1 ……実数型。側壁厚(m)。

S2 ……実数型。隔壁厚(m)。

b ……実数型。底版厚(m)。

e ……実数型。フタコン厚(m)。

HANCH ……実数型。ハンチの長さ(m)。ハンチはすべて共通である。

FUTN ……実数型。台形フーチングの場合の付け根の高さ(m)。(矩形フーチングの場合は0.0とする(図-12を参照))。

X1MIN ……実数型。マウンド厚の最小値(m)。

X2MIN ……実数型。ケーソン幅の最小値(m)。

X3MIN ……実数型。港内側のり肩幅の最小値(m)。

X4MIN ……実数型。フーチング長の最小値(m)。フーチングを考えない場合は0.0とする。

X5MIN ……実数型。ケーソンの法線方向長の最小値(m)。

TITLE										
N	NVAL									
H_0'	T	β	W_0							
C	K	t_1								
U_2	FUT	S1	S2	b	e	HANCH	FUTN			
X1MIN	X2MIN	X3MIN	X4MIN	X5MIN	X1MAX	X2MAX	X3MAX	X4MAX	X5MAX	WCMAX
A1	A2	A3	A4	A5	U1					
γ_1	γ_2	γ_e	γ_c	γ_r						
H.W.L	L.W.L	DELTH	Y							
F	Q1A	ϕ_1	ϕ_2	f						
L1	L2	α	t_2	S	NKOSU					
C1	C2	C3	C4	C5	C6	C7	C8	C9	C10	C11
C12										
NAMEOUT	ITER MAX	ε_{SUMT}	ε_{OPT}	ε_{LINE}						
X1INTL	X2INTL	X3INTL	X4INTL	X5INTL	rINTL					

図-11 入力様式

X1MAX……実数型。マウンド厚の最大値(m)。衝撃碎波領域を考えて設定する。

X2MAX……実数型。ケーソン幅の最大値(m)。

X3MAX……実数型。港内側のり肩幅の最大値(m)。

X4MAX……実数型。フーチング長の最大値(m)。

X5MAX……実数型。ケーソン法線方向長の最大値(m)。

ケーソンヤード等を考慮して設定する。

WCMAX……実数型。ケーソン本体の完成時最大重量(tf)。

A1 ………………実数型。

A2 ………………実数型。

A3 ………………実数型。上部工形状(図-13参照)。

A4 ………………実数型。

A5 ………………実数型。

U1 ………………実数型。防波堤天端高(m)。

γ_1 ………………実数型。マウンド材の水中単位体積重量(tf/m^3)。

γ_2 ………………実数型。現地盤の水中単位体積重量(tf/m^3)。

γ_e ………………実数型。浮力を引かない中詰砂の単位体積重量(tf/m^3)。

γ_c ………………実数型。コンクリートの単位体積重量(tf/m^3)。

γ_r ………………実数型。鉄筋コンクリートの単位体積重量(tf/m^3)。

H.W.L ……実数型。さく望平均満潮面(m)。

L.W.L ……実数型。さく望平均干潮面(m)。

DELTH ……実数型。H.W.L～L.W.L間で水位を変化させて安定計算を行う場合のピッチ(m)。

DELTHを小さくすると計算時間が長くなる(図-14参照)。

Y ………………実数型。ケーソン据付時の余裕水深(m)。

F ………………実数型。現地盤上の許容支持力を求める場合の安全率。

Q1A ………………実数型。マウンド上での許容端し圧(tf/m^2)。

ϕ_1 ………………実数型。マウンドの内部マサツ角(度)。偏心傾斜荷重に対する検討では入力された値より 5° 大きい値を用いる。

ϕ_2 ………………実数型。現地盤の内部マサツ角(度)。

f ………………実数型。ケーソンの滑動における摩擦角。

L1 実数型。港外側マウンドのり肩幅(m)。
 L2 実数型。根固めブロックの全設置幅(m)。
 α 実数型。マウンド勾配（例；1：2の場合、2.0を入力する）。
 t_2 実数型。被覆石の厚さ(m)。
 S 実数型。本ならしの余裕幅(m)。
 NKOSU 整数型。防波堤1mあたりの根固めブロックの換算設置個数。
 C1 実数型。ケーソン製作単価(千円/m³)。
 C2 実数型。中詰砂単価(〃)。
 C3 実数型。ふたコンクリート単価(〃)。
 C4 実数型。上部コンクリート単価(〃)。
 C5 実数型。捨石単価(〃)。
 C6 実数型。被覆石単価(〃)。
 C7 実数型。捨石荒ならし単価(千円/m³)。
 C8 実数型。捨石本ならし単価(〃)。
 C9 実数型。被覆石ならし単価(〃)。
 C10 実数型。ケーソン一函あたりにかかる費用(進水、仮置、据付等)(千円/函)。
 C11 実数型。根固め方塊製作単価(千円/m³)。
 C12 実数型。根固め方塊据付単価(千円/個)。
 NAMEOUT 文字型。DFRMと記入する。
 ITERMAX 整数型。SUMTの最大反復回数。5程度とする。
 εSUMT 実数型。0.1を入力する。
 εOPT 実数型。0.1を入力する。収束判定定数。
 εLINE 実数型。0.1を入力する。
 X1INIT 実数型。変数 x_1 の初期値。
 X2INIT 実数型。変数 x_2 の初期値。
 X3INIT 実数型。変数 x_3 の初期値。
 X4INIT 実数型。変数 x_4 の初期値。
 X5INIT 実数型。変数 x_5 の初期値。
 rINIT 実数型。ベナルティ係数の初期値100.0程度がよい。

5.2 出 力

出力項目は次のとおりである。

- (1) 入力データ
- (2) 初期仮定断面の feasible check 結果(入力データで仮定した断面が全ての制約条件を満足しているか否かをチェックする。一つでも制約条件を満たしていない場合は計算を中止する)。
- (3) 最適化計算の中間結果。
- (4) 最適断面形状と安定計算結果および工費。(出力結果の説明は 5.4 利用例を参照)。

5.3 利用上の留意点およびエラーメッセージ

本プログラムを利用する場合の留意点を以下に挙げる。

- (1) 初期仮定断面は必ず全ての制約条件を満足しなくてはならない。
- (2) 計算時間、解の求め易さ等の理由により、設計変数の中で定数としてよいものはなるべく定数とするほうが望ましい。例えばケーソンの法線方向長 x_3 は施工条件等であらかじめ決まっている場合が多いと思われる。
- (3) フーチング長 x_4 については配筋可能な範囲となるよう、その最大値、最小値、フーチング厚を適切に決定する。
- (4) 非線形計画法の性質上、求まった解が常に全体的な最小値であるとは限らないので初期仮定断面を二、三変更して解を比較する必要がある。
- (5) 本プログラムでは、ある水位での最適断面の候補が決定すれば、その断面について他の水位での安定条件をチェックする。その際、マウンド上の許容端し圧については入力された値の5%増の値を用いている。これは、ある水位での最適断面が許容端し圧に関する制限で決定されている場合に、他の水位での端し圧が少し許容端し圧をオーバーしているだけでその断面を最適解の候補から除くのは不経済であることを考慮したものである。上記の操作を避けたい場合は許容端し圧を1.05で割った値を入力すればよい。
- (6) 変数が5、検討水位が5程度の場合、計算時間は約8分程度である。

また計算の実行上、エラーの生じた場合には表-4に示されるエラーメッセージが出力される。

番号	エラーの内容	処理
1	入力データの数がたりない。	データをチェックする。
2	現地盤水深が+で入力されている。	負にする。
10	初期仮定断面が制約条件を満足していない。	* * * * 印についている制約条件式を満足するように初期データを修正する。
11	最適解を求められない。	① 初期仮定断面を変更して再計算してみる。 ② 収束判定定数を ϵ_{SUMT} または ϵ_{OPT} を大きくしてみる。
13	注水を行ってもケーンの浮遊時の安定を保てない。	初期仮定断面を変更する。
15 16 17	最適解を求められない。	収束判定定数 ϵ_{LINE} を大きくしてみる。
100 / 750	その他の実行上のエラー	計算センターに連絡

ケーン細部諸元		
ケーン天端高	3.0 m	+ 3.0 m
側壁厚	0.45 m	0.45 m
隔壁厚	0.30 m	0.30 m
底版厚	0.60 m	0.60 m
ハンチの長さ	0.30 m	0.30 m
ふたコンクリート厚	1.0 m	1.0 m
単価		
C1 ケーン製作単価	4,000.0 (円/m³)	4,000.0 (円/m³)
C2 中詰砂単価	4,000 (円/m³)	4,000 (円/m³)
C3 ふたコンクリート単価	8,000 (円/m³)	8,000 (円/m³)
C4 上部コンクリート単価	15,000 (円/m³)	15,000 (円/m³)
C5 捨石単価	4,000 (円/m³)	4,000 (円/m³)
C6 被覆石単価	4,000 (円/m³)	4,000 (円/m³)
C7 捨石荒ならし単価	4,000 (円/m³)	4,000 (円/m³)
C8 捨石本ならし単価	9,000 (円/m²)	9,000 (円/m²)
C9 被覆石ならし単価	5,000 (円/m³)	5,000 (円/m³)
C10 ケーン一函あたりの費用	800,000 (円)	800,000 (円)
C11 根固め方塊製作単価	10,000 (円/m³)	10,000 (円/m³)
C12 根固め方塊据付単価	7,000 (円/個)	7,000 (円/個)

表-4 エラーメッセージ

5.4 利用例

以下に示す設計・施工条件のもとで本プログラムを利用する場合の入力データの作成例を図-15に、計算結果を図-16(a)～(e)に示す。

設計条件

換算沖波波高	7.5 m
周期	11.0 sec
波向	28.0度
海底こう配	1:50
現地盤水深	-1.30 m
H.W.L	+ 2.0 m
L.W.L	± 0. m
防波堤天端高	+ 6.5 m

施工条件

ケーン空中重量	3,000 t
ケーン最大長さおよび幅	20 m × 30 m
据え付け時の余裕水深	1.0 m
港内側最小マウンド幅	4.0 m
港外側マウンド幅	15.0 m

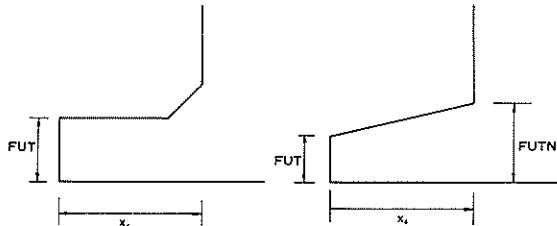


図-12 フーチングの形状

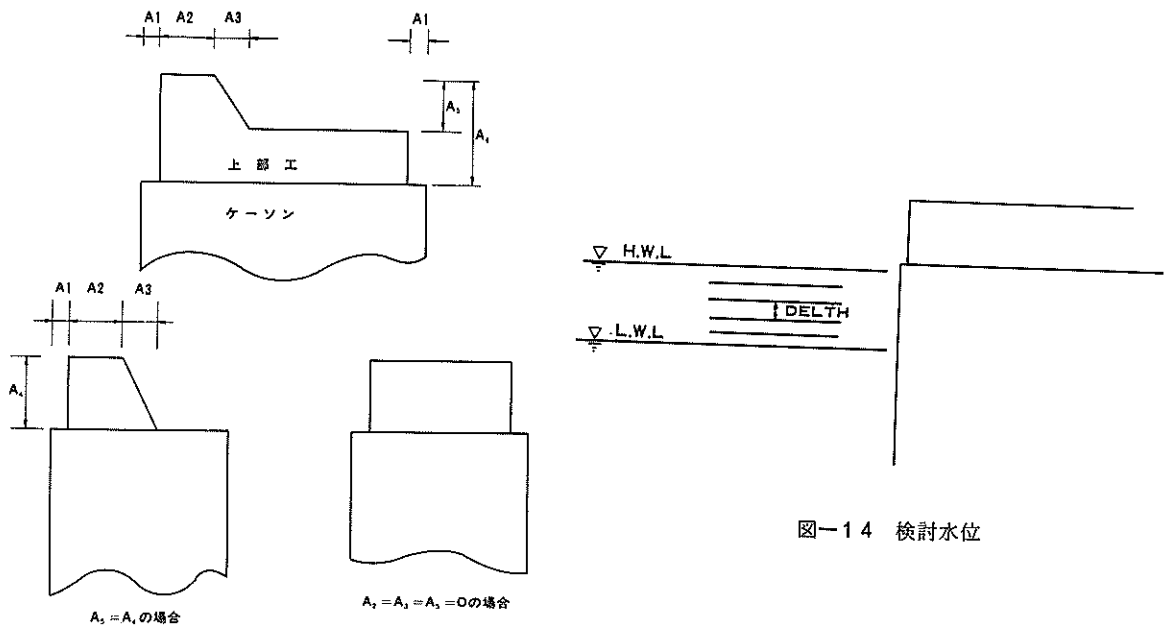


図-14 検討水位

図-13 上部工の形状

```
CASE-10-
4.1.1.1.0.1,
7.5.11.0.28.0.1.03,
50.0.-13.0.1.5,
3.0.0.0.0.45.0.3.0.6.1.0.0.3.0.0,
1.5.10.0.4.0.0.0.10.0.7.0.30.0.0.10.0.1.0.20.0.3000.0,
0.1.10.0.2.5.3.5.2.5.6.5,
1.0.1.0.2.0.2.3.2.45,
2.0.0.0.0.2.1.0,
1.5.60.0.40.0.35.0.0.6,
15.0.6.0.2.0.2.0.1.5.3,
40.0.2.4.0.9.0.15.0.4.0.4.0.4.0.9.0.5.0.800.0.10.0.7.0,
DFRM.10.0.1.0.1.0.1,
3.0.23.0.10.0.0.0.15.0.1.0,
```

図-15 入力データの作成例

***** TITLE CARD *****

CASE-10

***** SYSTEM PARAMETERS *****

N.O.VAR = 4 X CHANG = 1 1 0 1

SUB-SYSTEM PARAMETERS *****

P-FLAG = (T T F T T T)

C.CARD = S C PRINT = 6 PAGE C. = 1 LINE MAX= 60 LINE C. = 14

***** END OF SYSTEM PARAMETERS *****

***** INPUT PARAMETER OF DESIGN *****

PARAMETER CARD 1

H0 = 7.5UUU T = 11.00000

3EATA = 28.00000 OMEGA0 = 1.03000

周期

PARAMETER CARD 2

C = 50.0UUU

RK = -13.00000

現地盤深

T1 = 1.50000

根固めプロックの厚さ

PARAMETER CARD 3

U2 = ケーション天端 3.0UUU

FUTING = フーチング厚 0.30000

S1 = 埋込厚 0.45000

S2 = 腐食厚 0.30000

海水の単位体積重量

HANCH = ハンチ長

FUTIN = 0.

合形フーチングの場合の付け根の高さ。

PARAMETER CARD 4

X1(MIN)= 1.0UUU X2(MIN)= 10.00000

X3(MIN)= 4.00000 X4(MIN)= 0.00000

X1(MAX)= 7.0UUU X2(MAX)= 30.00000

X3(MAX)= 10.00000 X4(MAX)= 1.00000

X1～X4は各最大重量(空中)

PARAMETER CARD 5

A1 = 0.1UUU A2 = 10.00000

A3 = 2.50000

A4 = 3.50000

A1～A5は上部工の形状

PARAMETER CARD 6

GAMMA1 = 1.0UUU GAMMA2 = 1.00000

GAMMA-E = 2.00000 GAMMA-C = 2.30000 GAMMA-R = 2.45000

現地盤の水中単位体積重量

中塗単位体積重量

コンクリート単位体積重量

揚げ工の余裕水深

PARAMETER CARD 7

HWL = 2.0UUU LWL = 0.

DELT = 0.20000 Y = 1.00000

揚げ工のヤデミ幅

揚げ工の余裕水深

PARAMETER CARD 8

RF = 1.5UUU Q1A = 60.00000

PHAI1 = 4.0.00000 PHAI2 = 35.00000

現地盤上の許容支承力の安全率

マウンド斜面強度

現地盤内部マッシュ角

滑動に対するマッシュ係数

PARAMETER CARD 9

L1 = 15.0UUU L2 = 6.00000

ALPHA = 2.00000 T2 = 2.00000

マウンド勾配

被覆石の厚さ

本ならし余裕幅

収束判定数

***** INPUT PARAMETERS OF OPTIMIZATION *****

OPT.=最適化手法

DFRA ITR.MAX.= SUMT最大反復回数 10

EPSORT = 0.10000E 00

EPSINS = 0.10000E 00

X(1) -- X(N1) = 23.00000 15.00000 0.

S.UUUU 10.00000 15.00000 0.

C1 = 10.0UUU C12 = 7.00000

C2 = 4.00000 C3 = 8.00000 C4 = 15.00000 C5 = 4.00000

C6 = 4.0UUU C7 = 9.00000 C8 = 5.00000 C9 = 5.00000 C10 = 800.00000

R = 1.00000

ペナルティ係数

変数 $x_1 \sim x_n$ の初期値

***** RESULT OF CONSTRAINTS *****

VARIABLES • $x(i)$, $i=1 \sim 5$
 3.00000 運び重り
 CALCULATED RESULT
 $M_U = 751.03024$
 $M_D = 1432.05044$
 $P_2 = 29.02219$
 $P_1 = 6.55457$
 現地盤上の最大地盤反力
 $S.W.L. = 2.00000$ (検討水位)

3.00000 運び重りによる転倒モーメント
 波圧による転倒モーメント
 $U = 91.43723$
 $N_P = 1401.06551$
 $P_2 = 7.10461$
 現地盤上の最大地盤反力
 $U = 10.00000$
 $N_P = 1401.06551$
 $P_1 = 272.69452$
 $C = \text{浮心}$

10.00000 運び重りによる転倒モーメント
 $U = 254.26000$
 $N_V = 520.9.22000$
 $P_1 = 272.69452$
 $R_V = 3.55230$
 $M = \text{重心}$

15.00000 ($x_1 \sim x_5$)
 浮力による転倒モーメント
 $V = 254.26015$
 $N_V = 520.9.22594$
 $P_1 = 1030.45301$
 $M = 6.19146$

現地盤の許容支承力
 $C = \text{浮心}$

CALCULATED INEQUALITY

1	1.35677	GE	1.20000	式(1)の制約条件式
2	5.09778	GE	1.20000	式(2) "
3	12.7000	LE	23.00000	上部工形状に関する制約条件式
4	32.02594	LE	65.00000	式(3)の制約条件式(各水位での検討は、5 %増しの許容支承力としている)
5	29.32279	LE	272.69452	式(4) "
6	1.03626	GE	1.20000	式(5) "
7	12.71695	GE	1.00000	式(6) "
8	2524.92210	LE	5000.00000	式(7) "
9	1.50000	LE	3.00000	式(8) "
10	5.00000	LE	7.00000	
11	10.00000	LE	23.00000	
12	23.00000	LE	30.00000	式(11) "
13	4.00000	LE	10.00000	
14	10.00000	LE	10.00000	
15	0.	LE	0.	
16	0.	LE	1.00000	
17	10.00000	LE	15.00000	
18	15.00000	LE	20.00000	
19	0.35523	GE	0.35523	式(9) "
20	15.00000	GE	11.10461	式(10) "

図-16 (b) 出力結果(初期仮定断面の feasible check)

***** RESULT OF CONSTRAINTS *****

VARIABLES ** X(1) , I=1 ~ 5
1 . 50000 18 . 30000 4 . 03000 0 .

CALCULATED RESULT
 $w = 66.9 \cdot 10429$ $U = 63.29629$ $V = 228.07290$ $P = 161.08850$
 $\mu_U = 33.21473$ $\mu_P = 1429.32600$ $\mu_V = 2086.86703$ $\mu_P = 46.50395$
 $\mu_U = 42.41366$ $\mu_D = 1.50000$ $\mu_V = 172.26578$ $\mu_C = 922.50000$
 $\mu_D = 6.19286$ $C = 3.52553$ $M = 6.34247$

S . W . L = 0 . 60000 ← 検討水位

CALCULATED INEQUALITY

1	1.38431	* GE *	1.20000
2	2.39328	* GE *	1.20000
3	12.70000	* LE *	18.30000
4	46.50395	* LE *	63.00000
5	42.41360	* LE *	172.26578
6	1.83803	* GE *	1.20000
7	6.30719	* GE *	1.00000
8	2260.12500	* LE *	3000.00000
9	1.50000	* LE *	1.50000
10	1.50000	* LE *	7.00000
11	10.00000	* LE *	18.30000
12	18.50000	* LE *	30.00000
13	4.40000	* LE *	4.00000
14	4.00000	* LE *	10.00000
15	0.	* LE *	0.
16	0.	* LE *	2.00000
17	13.00000	* LE *	15.00000
18	15.00000	* LE *	20.00000
20	15.00000	* GE *	11.02553

図-16(c) 出力結果（各検討水位での最適断面候補の形状および安定計算結果）

* X(1) -- X(N1)
 X1 = 1.5 X2 = 18.3 X3 = 4.0 X4 = 0. X5 = 15.0 ← 最適解 ($x_1 \sim x_5$)

 * CAISSON - SIZE
 LENGTH = 15.0 M WIDTH = 法線直角方向長 HEIGHT = 14.5 M ハーフヘイク
 SOKUHEKI = 0.450 M 側壁厚 KAKUHEKI = 18.3 M 側壁厚 HANCH = 0.300 M ヘンチ長
 CHAMBER-X = 3 M CHAMBER-Y = 4 (法線平行方向および直角方向の隔壁数)
 CHAMBER-X-WIDTH = 4.50 M CHAMBER-Y-WIDTH = 4.15 M 4.10 M 4.15 M 各隔壁のうちめり

 FOOTING-KEY = 1 M FOOTING-X = 0 M FOOTING-Y = 0 M
 FOOTING-X = 0 M FOOTING-Y = 0 M
 フーティング厚 フーティング長さ

 CAISSON - WEIGHT = 2260.125 TON ケーシングの重量 CENTER OF GRAVITY-Y = 6.193 M ケーシング重心位置
 CAISSON - VOLUME = 922.500 M**3
 CAISSON - VOLUME = 61.500 M**3 / M ケーシング体積

 * FUUUJI ANTEI
 KEISHIN = 6.301 M JYUSHIN = 5.867 M FUSHIN = 4.263 M KANGEN = 5.974 M KITSUSUI = 8.526 M TSUSUI = 0.700 M
 頭心 重心 浮心 先水
 * HUTA - CON. = 1.000 M フタコントリート厚さ
 HUTA - CON. VOLUME = 220.590 M**3
 14.706 M**3 / M フタコントリートの体積

 * JYO - BU KO VOLUME = 0.100 M A1 = 4.93.375 M**3
 JYO - SU KO VOLUME = 6.93.375 M**3 A2 = 10.000 M
 4.6.225 M 4.6.225 M 上部工の体積

 * NAKAZUME - VOLUME = 2857.160 M**3
 189.144 M**3 / M 中船の体積

 * TEITAI - WEIGHT = 10036.564 TON 669.104 TON / M 総体全体の重量

 * HAATSU - JI
 WATER LEVEL = 2.000 M BUOYANCE = 254.462 TON X - POINT OF APPLICATION = 9.150 M
 案内水位=HWL 浮力 作用位置
 * SETSUKEI - HA
 H1/3 = 6.900 M HD = 12.071 M L = 122.216 M
 有義波高 最大波高 波長

安定計算結果

図-16(d) 出力結果(最適断面形状その他)

* KATSUDO $F_S = 1.207$ 滑動安全率

* TENTO $F_T = 2.018$ 脆弱安全率

* HARYOKU $P = 171 \cdot 031$ $U = 70 \cdot 613$ 波圧合力および揚圧力の合力
 $M_P = 1561 \cdot 269$ $M_U = 2328 \cdot 323$ $M_U = 861 \cdot 483$
 波圧による船側モーメント 浮力によるセーメント 握圧力によるセーメント
 * SHIJIRYOKU

$F_1 = 49 \cdot 631$ $F_{1'} = 1 \cdot 500$ $L_{1'} = 13 \cdot 863$ マウンド上の喰足および分布中量
 $F_2 = 43 \cdot 927$ $F_{2'} = 1 \cdot 500$ $L_{2'} = 16 \cdot 217$ 現地盤 $"$ $"$ $"$

* CHOKUSEN SUURI

$F_E = 1 \cdot 627$ 直線すべりの安全率

* HENSHIN KEISYA 構造変形荷重に対する係数

$F_E = 3 \cdot 905$ $N_{MIN} = b \cdot 025$ $R = 2 \cdot 694$ $\text{THEATR} \theta = 0 \cdot 823$
 安全率 N_{MIN} R (半径) θ (角度)

* KOUHI

$ZEN - KOUHI = 5086 (1000 YEN/M)$ 全工費
 $F_1 = 2460$ $F_2 = 756$ $F_3 = 117$ $F_4 = 693$ $F_5 = 241$ $F_6 = 197$
 $F_7 = 66$ $F_8 = 245$ $F_9 = 147$ $F_{10} = 53$ $F_{11} = 90$ $F_{12} = 21$
 ケーシン製作費 中筋費 ふたコンクリート費 上部コンクリート費 根固めブロック製作費
 槌石荒ならし費 槌石本ならし費 槌石ならし費 ケーシン一箇に必要な費用
 根固めブロック掘付費

図—16(e) 出力結果(最適断面の安定計算結果および工費)

6. あとがき

本研究では非線形計画法の一つである S U M T を混成式防波堤の断面決定に適用し、その計算プログラムを作成した。また二、三の数値計算により工費に影響を与える種々の設計条件と最適断面形状および工費の関係について考察を行った。今後、設計条件、立地条件等の過酷化および省資源等の要請により、さらに経済的な防波堤の設計を要求されてくると思われるがそのような場合に本最適設計プログラムが役立つものと信ずる。

本研究を行うにあたっては計算室に多大の便宜を計つていただいた。ここに記して謝意を表する次第である。

参考文献

- 1) 山本修司, 塩沢俊彦: 混成式防波堤の最適設計, 港湾技研資料, No. 301, Sept, 1978
- 2) 山本修司, 塩沢俊彦: 地盤改良断面の最適設計, 港湾技研資料, No. 328, Dec, 1979
- 3) 合田良実: 浅海域における波浪の碎波変形, 港研報告, Vol. 14, No. 3, 1975
- 4) 合田良実: 防波堤の設計波圧に関する研究, 港研報告, Vol. 12, No. 3, 1973, pp 31~69
- 5) 片山猛雄, 内田豊彦: 傾心傾斜荷重を受ける二層系地盤上の帶状基礎の支持力, 港研資料, No. 140, 1972
- 6) 日本港湾協会: 港湾の施設の技術上の基準・同解説, 昭和 54 年 3 月, pp 5-8~5-9
- 7) 立石哲郎, 福家龍男, 須田熙, 光本司: 傾斜偏心荷重を受ける帶状基礎の支持力に関する研究, 運研報告, 12 卷 1 号, 昭和 37 年
- 8) 文献 6) の pp 7-9~7-10
- 9) M, J. D. Powell : An efficient method for finding the minimum of a function of several variables without calculating derivatives, Computer Journal Vol 7, 1964 p. 55
- 10) R. Fletcher and M. J. D. Powell : A rapidly convergent descent method for minimization, Computer Journal Vol. 6, 1963, pp. 163~158
- 11) G. W. STEWART III : A modification of Davidon's Minimization Method to Accept Difference Approximations of Derivatives, Journal of the Association for Computing Machinery, Vol. 14, No. 1, January, 1967, pp. 72~83
- 12) J. コワリック, M.R.オスボーン : 非線形最適化問題, 培風館, 1970 (山本, 小山訳)
- 13) 長尚: 構造物の最適設計, 朝倉書店, 昭和 46. 9

港湾技研資料 No.347

1980・6

編集兼発行人 運輸省港湾技術研究所

発 行 所 運輸省港湾技術研究所
横須賀市長浦3丁目1番1号

印 刷 所 株式会社 東京プリント

Published by the Port and Harbour Research Institute
Nagase, Yokosuka, Japan.